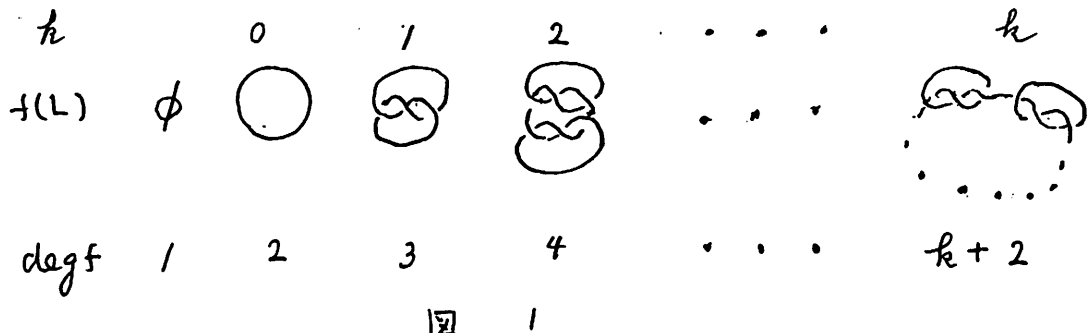


折返しのない良い写像 $f: S^3 \rightarrow \tilde{S}^3$ の一例
本間 龍雄

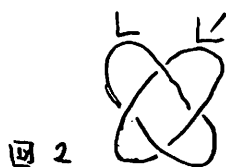
次の予想が成立すれば“3次元 Poincaré 予想”は肯定的に解決する。

予想 M^3 は有向閉3-多様体, $f: S^3 \rightarrow M^3$ が“写像度 $\deg f \neq 0$ の連続写像”であれば、被覆写像 $g: S^3 \rightarrow M^3$ が存在する。

f は良い写像としてよい。さうに f の singularity は折返しをもたないと仮定する。即ち f の singularity は今山支曲線のみとなる。 $f: S^3 \rightarrow M^3$ の今山支曲線は S^3 の link であるが、この link は自明であると期待している。本稿で今山支曲線は S^3 の自明な結び目として、 M^3 は3-球面 \tilde{S}^3 , $f(L)$ は \tilde{S}^3 の有限個(たとえば)の trefoil knot の連結和となる例を示す。



$f^{-1}(f(L))$ の図 ($\deg f = 3$)



L は今山支曲線
で 図 5, 6, 7, 8

$9, 10$ の今山点 a', b' のたどつた道, L' は $S_t - L$ の二点 c', d' のたどつた道である。

$h: S^3 \rightarrow [0, 1]$ は S^3 の height function で, $h^{-1}(0) = n$, $h^{-1}(1) = s$ $0 < t < 1$ に対して S_t は等高球面, $h^{-1}([0, t]) = B_t$ は 3-球である。 S_t に有限個の今山点 (L と S_t の交点) があり, それ以外の S_t の点 z は $f(S_t)$ がその点における正の法ベクト

[2]

トル(図の矢印)の方向に進む。

3-球面 \tilde{S}^3 は無限遠点 ∞ を除いて $R^3 = \tilde{S}^3 - \{\infty\}$ とみなし,
 R^3 に直交座標 $p = (x, y, z)$ を入れ, $z(p)$ を p の高さとする。
 $f(S_t)$, $f(L)$ の構造は2軸に垂直な平面を用いて調べる方が多い。

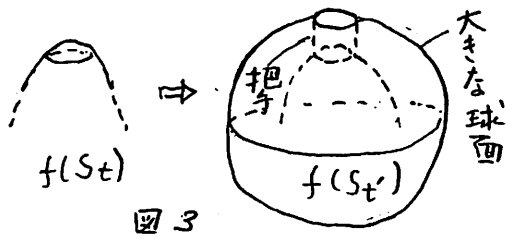


図3

$f(S_t)$ が無限遠点 ∞ を通過して $f(S_{t'})$ ($t < t'$) となるときは, 図3 のように $f(S_t) \cup f(L)$ を囲む大きな球面を $f(S_t)$ に半径ご連結して $f(S_{t'})$ となるものと考える。



図4 $f(L)$ ($\deg f = 3$)

図4

本稿では主に図1の $\deg f = 3$ の場合を扱う。図4は trefoil knot z 図1の $\deg f = 3$ の場合の trefoil knot を R^3 の ambient isotopy で変形にある。 S^3 の等高球面 S_t の像 $f(S_t)$ と $f(L)$ との関係を見易くするためにこのように変形した。 $f(S_t)$ は R^3

の自己交叉を持つ曲面であり, しかも $f(L)$ と4点 a, b, c, d をもつて描くのが難儀しい。 $f(S_t)$ の輪郭は細線, $f(L)$ は太線, $f(S_t)$ の自己交叉曲線は点線で書き, これら等の曲線が図上で交わるとときは, 異点の近傍で遠くの線を描かないので, $f(S_t)$, $f(L)$, 自己交叉曲線の各部分における遠近を注意深く見てほしい。

S_t の各点 l に逆正の法ベクトルの方向 (B_t の反対側の方向) が定まり, 従って $f(S_t)$ の分歧点像 a, b 以外の点では正の方向が定まるので, それを矢印で示してある。 $\tilde{S}^3 - (f(S_t) \cup f(L))$ の各点 p で $f|B_t : B_t \rightarrow \tilde{S}^3$ の幾何的写像度 $\lambda \geq 0$ が定まり, p の十分小さい近傍で一定なので, B_t は $p = l$

重で写像されていふということにする。入は七が増加するに従って単調に増加する。

$0 < t_1 < t_2 < t_3 < t_4 < 1$ の4つの時刻に $f(S_t)$ は変化する。
 $f(n) = f(s) = \infty$ で、 $0, t_1, t_2, t_3, t_4, 1$ 以外の t において $f(S_t)$ は \mathbb{R}^3 の ambient isotopy で動く。 $0 < t < t_1$, ($t_4 < t < 1$) において $f(S_t)$ は単調に縮小(拡大)する玉球面で、 $f(S_t)$ の外部では $f(B_t)$ は 1 (2) 重、内部では 0 (3) 重である。分歧曲線 L は自明な S' で、 t_1, t_4 は L の極点で、 $t_1 < t < t_4$ において S_t は L と2点 a', b' 交わり、 $f(a') = a$, $f(b') = b$ である。さうして $L - S_t$ の2点 c', d' と $S_t - L$ の2点 c'', d'' が存在し、 $f(c') = f(c'') = c$, $f(d') = f(d'') = d$, $f(S_t) \cap f(L) = \{a, b, c, d\}$ をみたす。

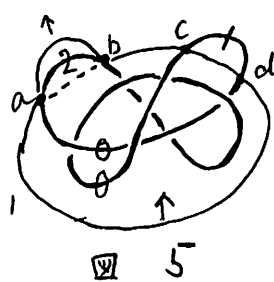


図5は $t_1 < t < t_2$ における $f(S_t)$ の図である。 a, b は分歧点 a', b' の像で a と b 結ぶ点は $f(S_t)$ の自己交叉曲線で、長玉球状の0重領域となめくじ状の2重領域が接している。0重領域は縮小しつつあり、2重領域は拡大している。外部は $f(B_t)$ の1重領域である。 $f(L)$ は0重領域の弧 ad , bc , 1重領域の弧 cd , 2重領域の弧 ab に分かれれる。

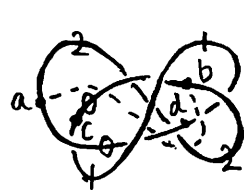


図6.1

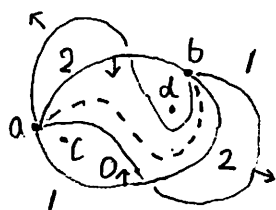


図6.2

図6は $t_1 < t < t_2$ における $f(S_t)$ の直前の図であり、一戸に画くと見難くなるので図6.1では $f(L)$ を、図6.2では $f(S_t)$ の輪郭を画いた。

図5より長玉球状の0重領域は小さくなり、なめくじ状の2重領域は大きくなっている。

(4)

長球の向う側に交叉曲線で貝壳りつけてある。2重領域の $f(L)$ の3点 ab と1重領域の $f(L)$ の3点 cd は図5より長くなっている。

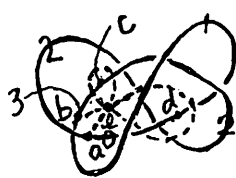


図 7.1

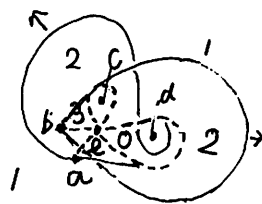


図 7.2

t_2 で $f|B_t$ の3重領域が生じ、 t_3 で 0重領域が消える。図7は時刻 t_2 の直後の図で3重領域は b を頂点とする錐状で底面の周は交叉曲線のループで底面の中に c があり、0重領域も

a を頂点とする錐状で底面の周は交叉曲線のループで中に d である。0重領域は図6で長球状であったが、ここで1は錐状になりかつ縮小してある。 t_2 で $b=c$ となり、以後交叉曲線の3重点が生じるが、eは $f(S_t)$ の3重点である。また t_2 以後 $f(L)$ 上で b と c の順序が逆転している。

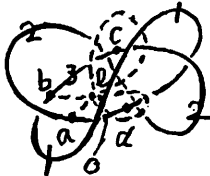


図 8.1

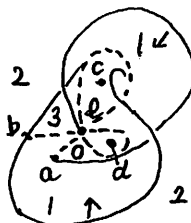


図 8.2

t_3 で $f|B_t$ の0重領域が消えるが、図8は t_3 の直前の図で図7から図8には至る間に $f(S_t)$ の1重領域と2重領域の境界面が無限遠点を通過している。これは図3の操作により

確認する。図7で2重領域が有界で、1重領域が ∞ を含んだが、図8で1重領域が有界で、2重領域が ∞ を含んでいる。 b を頂点とする錐状の3重領域は拡大し、 a を頂点とする錐状の0重領域は急縮小して t_3 で消え。

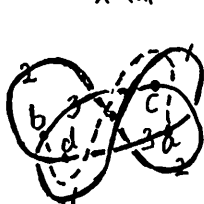


図 9.1

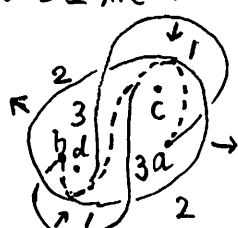


図 9.2

t_3 で $f|B_t$ の0重領域が消え、 t_4 で1重領域が消えるが、 $t_3 < t < t_4$ において $f(S_t)$ は \mathbb{R}^3 の ambient isotopy で動く。図9は t_3 の直後の図で1重領域は4

なめくじ状になつて縮小しつゝある。3重領域は t_3 以前錐状であったのが t_3 以後長球状になり拡大する。 t_3 で $a=d$ となり、 a と d の $f(L)$ における順序は逆転し、3重点もは消える。

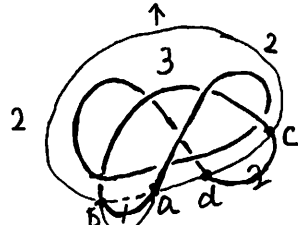


図 10

t_4 でなめくじ状の1重領域が消える。図 10 はその直前の図である。 t_4 以後は $f(S_t)$ は球面で拡大を続け、 $t=1$ で無限遠点 $\infty = f(s) \mid =$ 収束する。以上で $f: S^3 \rightarrow \tilde{S}^3$ は完成する。 $\tilde{S}^3 - f(L)$ の各点の f の幾何的写像度はすべて 3 である。例えは $f(\infty)$ は m, s と $t_2 < t < t_3$ において $f(S_t)$ が ∞ を通過するときの S_t の一点 p ($f(p) = \infty$) の三点である。もちろん f の (代数的) 写像度 $\deg f$ は 3 である。

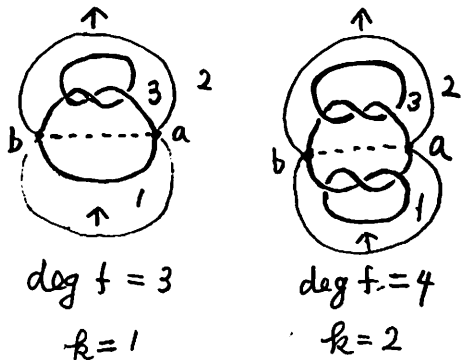


図 11

図 11 は f の写像度 $\deg f$ と連結和 k における trefoil knot の個数との関係を示す図である。

$k=1$ の場合は図 10 と同じで、点 c, d は竟然に 3 重領域の拡大により消えていく。

$k=2$ の場合は点 \tilde{c}, \tilde{d} が生じ、結いて a を頂点とする錐状の $f(Bt)$ の 4 重領域が生じて、1 重領域に入つて 11 3 $f(L)$ の3個が trefoil 型であることが示される。

$k=1$ の場合の 0, 1, 2, 3 重領域と a, b, c, d に代って、それそれ 1, 2, 3, 4 重領域と $a, b, \tilde{c}, \tilde{d}$ が動き、 $k=2$ の場合が終る。この操作を inductive は繰り返して、 $f(L)$ が k 個の trefoil knot の連結和で $\deg f = k+2$ の場合を得る。

[6]

折返しのない良い写像 $f: S^3 \rightarrow \tilde{S}^3$ で、今山支曲線 γ の像 $f(\gamma)$ が本例と異なった結び目が“あるか”とか研究中である。

参考文献

木村龍雄他、幾何学的トポロジー、共立出版（21世紀の数学）1999、